

مقایسه تاثیر پرتوهای یون‌ساز گاما و الکترون بر کینتیک تجزیه شکمبه‌ای پروتئین و اسیدهای آمینه کنجاله سویا

فرزاد قنبری^{۱*} - تقی قورچی^۲ - پروین شورنگ^۳ - هرمز منصوری^۴ - نورمحمد تربتی نژاد^۵

تاریخ دریافت: ۱۳۹۲/۳/۱۰

تاریخ پذیرش: ۱۳۹۲/۱۰/۱

چکیده

پژوهش حاضر به منظور مقایسه اثر دزهای ۲۵، ۵۰ و ۷۵ کیلوگری پرتوهای یون‌ساز گاما و الکترون، بر تجزیه پذیری شکمبه‌ای پروتئین و اسیدهای آمینه کنجاله سویا انجام گرفت. بدین منظور از تکنیک‌های کیسه نایلونی و الکتروفورز ژل پلی‌آکرلامید در حضور سدیم دودسیل سولفات استفاده شد. پرتوهای یون‌ساز باعث کاهش بخش‌های سریع تجزیه و ثابت نرخ تجزیه و افزایش بخش کند تجزیه پروتئین خام شدند. تاثیر اشعه گاما بر فراسنجه‌های تجزیه پذیری پروتئین خام بیشتر از پرتو الکترون بود. تجزیه پذیری موثر پروتئین خام تحت تاثیر پرتوهای یون‌ساز کاهش یافت. تاثیر اشعه گاما در کاهش تجزیه پذیری موثر پروتئین خام در سرعت‌های عبور ۵ و ۸ درصد در ساعت بیشتر از پرتو الکترون بود. پرتوهای یون‌ساز باعث کاهش تجزیه اسیدهای آمینه کنجاله سویا بعد از ۱۶ ساعت انکوباسیون شکمبه‌ای شدند. پرتو گاما توانایی بیشتری در کاهش تجزیه پذیری اسیدهای آمینه داشت. در کنجاله سویای پرتوتابی نشده، زیرواحدهای α ، β پروتئین بتاگلیسینین پس از ۴ ساعت و زیرواحدهای اسیدی و بازی پروتئین گلیسینین پس از ۱۶ ساعت انکوباسیون شکمبه‌ای ناپدید شدند. دزهای ۵۰ و ۷۵ کیلوگری پرتو الکترون و اشعه گاما باعث حفظ زیرواحدهای بتاگلیسینین تا زمان ۱۶ ساعت و حفظ زیرواحدهای گلیسینین تا زمان ۴۸ ساعت شدند. نتایج این پژوهش نشان داد که هرچند تاثیر پرتو گاما در کاهش تجزیه شکمبه‌ای پروتئین خام و اسیدهای آمینه بیشتر از پرتو الکترون بود، اما ناپدید شدن شکمبه‌ای زیر واحدهای پروتئین کنجاله سویا به طور یکسانی تحت تاثیر این پرتوهای یون‌ساز قرار گرفت.

واژه‌های کلیدی: پرتوهای یون‌ساز، کنجاله سویا، تجزیه پذیری، الکتروفورز

مقدمه

می‌شود. در این حالت شاخص‌های کیفیت پروتئین از جمله توازن اسیدهای آمینه و قابلیت هضم از بین می‌روند (۴۱).

روش‌های مختلف عمل‌آوری کنجاله‌ها به منظور کاهش تجزیه پذیری پروتئین در شکمبه مورد استفاده قرار گرفته که شامل روش‌های فیزیکی، شیمیایی و یا ترکیب آن‌ها می‌باشند (۲۹ و ۳۹). در عمل‌آوری‌های شیمیایی، از آلدئیدها، تانن‌ها، قلیاها، زایلوز، اسیدهای آلی و معدنی، لیگنوسولفونات‌ها و الکل استفاده می‌شود (۱۶، ۳۹ و ۴۰). اما بعضی از این ترکیبات باعث آلودگی محیط زیست شده و در برخی موارد اثرات نامطلوب بر عملکرد دام برجای می‌گذارند (۲۶). عمل‌آوری‌های فیزیکی که برای کاهش تجزیه پروتئین در شکمبه مورد استفاده قرار گرفته‌اند، شامل حرارت‌دهی خشک و مرطوب، پوشاندن پروتئین با یک فرآورده مقاوم به تجزیه (مانند خون)، عمل‌آوری با امواج کوتاه^۶ و پرتوتابی می‌باشند (۴، ۱۲، ۲۶، ۲۷

کنجاله‌های دانه‌های روغنی به‌عنوان مکمل‌های پروتئینی در جیره نشخوارکنندگان استفاده می‌شوند. اما این منابع ارزشمند پروتئینی به‌طور گسترده‌ای توسط میکروارگانیزم‌های شکمبه تجزیه می‌شوند (۳۹). بخش قابل توجهی از پروتئین در حین تجزیه در شکمبه، به پپتیدها، اسیدهای آمینه و در نهایت به آمونیاک تبدیل

۱- استادیار گروه علوم دامی، دانشکده کشاورزی و منابع طبیعی، دانشگاه گنبد کاووس

*- نویسنده مسئول: (Email: farzadghanbari@yahoo.com)

۲ و ۵- استادان گروه تغذیه دام و طیور، دانشکده علوم دامی، دانشگاه علوم کشاورزی و منابع طبیعی گرگان

۳- استادیار پژوهشگاه علوم و فنون هسته‌ای، پژوهشکده کاربرد پرتوها

۴- استادیار موسسه تحقیقات علوم دامی کشور

و دنسیومتری، امکان مطالعه نوع پروتئین موجود در مواد خوراکی، تعداد زیرواحدهای هر پروتئین و وزن ملکولی زیرواحدها را فراهم می‌کند. این تکنیک توانایی تعیین و ایزوله کردن پروتئین‌های نمونه خوراک را داشته و اجازه می‌دهد که تجزیه پذیری زیرواحدها مستقیماً مورد بررسی قرار گیرد. بنابراین با استفاده از این تکنیک می‌توان نوع پروتئین‌های عبوری از شکمبه را تشخیص داد (۳۲). در پژوهش شورنگ و همکاران (۳۵)، الگوی الکتروفورزی کنگاله سویا، وجود دو پروتئین عمده به نام‌های بتاکنگلیسینین با ۳ زیر واحد α ، β و گلیسینین با دو زیر واحد اسیدی و بازی را در آن نشان داد. این محققین مشاهده کردند که عمل‌آوری کنگاله سویا با دزهای ۲۵، ۵۰ و ۷۵ کیلوگری پرتو گاما باعث کاهش تجزیه این زیرواحدها در شکمبه شد.

هدف از انجام این پژوهش بررسی و مقایسه تاثیر پرتوهای یون ساز گاما و الکترون بر کینتیک تجزیه شکمبه‌ای پروتئین و اسیدهای آمینه کنگاله سویا بود.

مواد و روش‌ها

کنگاله سویا از شرکت تعاونی گاوآران و اسب‌داران استان گلستان تهیه شد. پرتوتابی گامای کنگاله سویا در پژوهشگاه تحقیقات کشاورزی، پزشکی و صنعتی کرج، وابسته به پژوهشگاه علوم و فنون هسته‌ای سازمان انرژی اتمی ایران انجام گرفت. قبل از انجام پرتوتابی، رطوبت نمونه ماده‌های خوراکی به ۲۵ درصد رسانده شده و سپس در دمای اتاق و اتمسفر هوا با دزهای ۲۵، ۵۰ و ۷۰ کیلوگری مورد پرتوتابی قرار گرفتند. پرتوتابی با نرخ متوسط ۰/۳۴ گری در ثانیه، با استفاده از سیستم پرتوتابی آزمایشگاهی مدل PX-30 انجام شد. در این سیستم پرتوتابی از کبالت ۶۰ به عنوان چشمه پرتوزای گاما استفاده می‌شود. کنترل کیفی پرتوتابی با به کارگیری سیستم دزی متر شیمیایی مرجع فریک، بر اساس استاندارد ASTM E1026-95 انجام شد (۵). پرتوتابی الکترونی کنگاله سویا در مرکز پرتو فرآیند یزد، وابسته به پژوهشگاه کاربرد پرتوهای سازمان انرژی اتمی ایران انجام شد. شتاب‌دهنده الکترونی که در این آزمایش مورد استفاده قرار گرفت، رودوترون^۱ بود. نمونه‌های کنگاله با پرتو الکترونی ۱۰ مگا الکترون‌ولت و جریان باریکه الکترونی ۶ میلی‌آمپر با دزهای ۲۵، ۵۰ و ۷۵ کیلوگری و با خطای کمتر از ۵ درصد پرتوتابی شدند. روش پرتوتابی به صورت یک طرفه بود. به منظور دقت در دز داده شده به نمونه‌ها، اندازه گیری دز با استفاده از کالری متر پلی‌استرین (دزی-متر مرجع) صورت گرفت.

آزمایش تجربه پذیری با استفاده از تکنیک کیسه‌های نایلونی

و (۳۴). متداول‌ترین روش عمل‌آوری فیزیکی حرارت‌دهی است. حرارت باعث کاهش تجزیه پذیری پروتئین از طریق واسرشتی و یا ایجاد پیوندهای عرضی پروتئین-پروتئین و پروتئین-کربوهیدرات (واکنش قهوه‌ای شدن) می‌شود. اما حرارت زیادی باعث تخریب اسیدهای آمینه حساس به ویژه لیزین، سیستین و آرژنین می‌شود (۲۶). از جمله روش‌های عمل‌آوری منابع پروتئینی که اخیراً مورد توجه قرار گرفته است، فرآیند پرتوتابی می‌باشد. پرتوتابی یک روش فیزیکی عمل‌آوری بوده که بدون ایجاد فعالیت رادیو اکتیو، بر ساختمان پروتئین تاثیر می‌گذارد. این فرآیند، احتمالاً باعث ایجاد پیوندهای عرضی و انبوهش پروتئین‌ها می‌شود. پرتوتابی پتانسیل بالایی برای جایگزینی با سایر روش‌های معمول عمل‌آوری خوراک داشته و بدون شک در آینده به طور وسیع‌تری مورد استفاده قرار خواهد گرفت (۲۴). منظور از عمل‌آوری خوراک به وسیله پرتوتابی، استفاده کنترل شده از پرتوهای یون ساز گاما (ساعت شده از کبالت ۶۰ یا سزیم ۱۳۷) و الکترون (تولید شده به وسیله شتاب دهنده الکترونی) می‌باشد (۱۱) و (۱۸). علیرغم اینکه ساز و کار تاثیر پرتوهای یون ساز گاما و الکترون بر مواد مشابه است، اما در هر حال اختلافاتی از لحاظ قدرت نفوذ و نحوه کاربرد بین آن‌ها وجود دارد. پرتو گاما قدرت نفوذ بیشتری داشته و خطای پرتوتابی کمتری ایجاد می‌کند. از طرفی هم به صورت مستقیم و هم به صورت غیرمستقیم بر ماده پرتوتابی شده اثر می‌گذارد (۷). اخیراً فرآیند پرتوتابی در کاهش تجزیه پروتئین خام دانه‌ها و کنگاله‌های پروتئینی به وسیله میکروارگانیزم‌های شکمبه، موفق بوده است (۱۵). در میان کنگاله‌های دانه‌های روغنی، کنگاله سویا پر مصرف‌ترین آن‌ها در خوراک دام و طیور می‌باشد. با بررسی محتوی اسید آمینه کنگاله سویا، اهمیت آن در جیره‌های مخلوط به خوبی مشخص می‌شود. این ماده خوراکی کاملاً خوش خوراک بوده و دارای توازن خوب اسید آمینه با فرآهمی بالا می‌باشد (۳۲). شورنگ و همکاران (۳۵) گزارش کردند که پرتوتابی گامای کنگاله سویا با دزهای ۲۵، ۵۰ و ۷۵ کیلوگری، باعث کاهش تجزیه پذیری پروتئین خام آن از ۶۹/۷ درصد به ترتیب به ۵۷/۱، ۴۷/۹ و ۴۰/۲ درصد شد. برای دستیابی به اطلاعات بیشتر در خصوص پروتئین غیر قابل تجزیه در شکمبه در کنگاله سویای عمل‌آوری نشده و کنگاله سویای عمل‌آوری شده با تیمارهای مختلف، لازم است که تجزیه شکمبه‌ای و فرآهمی اسیدهای آمینه این خوراک مشخص شود. بیان شده است که عمل‌آوری کنگاله سویا می‌تواند با افزایش زیست فرآهمی اسیدهای آمینه در روده، باعث افزایش تولید شیر شود (۶). در خصوص تاثیر پرتوهای یون ساز بر تجزیه‌پذیری اسیدهای آمینه کنگاله سویا گزارشی در منابع علمی یافت نشد.

ون سوست بهترین ملاک ارزشیابی پروتئین مواد خوراکی در تغذیه نشخوارکنندگان را اندازه‌گیری مقدار تجزیه‌پذیری پروتئین حقیقی در شکمبه می‌داند (۳۵). تکنیک الکتروفورز ژل پلی‌آکریلامید

1- Rhodotron (Model TT-2200, IBA Co., Belgium)

۲/۵ درصد بتامرکاپتواتانول^۶، ۷ درصد گلیسرول و ۴ میلی‌گرم بروموفنل بلو^۷ اضافه شد. پس از ۳۰ دقیقه هم‌زدن بر روی همزن مخصوص لوله اپندرف در دمای ۴ درجه سانتی‌گراد، پروتئین نمونه‌ها استخراج و پس از قرار دادن در آب ۹۵ درجه سانتی‌گراد به مدت ۳ دقیقه و سانتریفیوژ ۱۰۰۰۰ دور به مدت ۱ دقیقه، مایع صاف شده بالایی جدا شد. مایع بالایی به لوله‌های اپندرف منتقل شده و تا زمان انجام الکتروفورز در دمای ۲۰- درجه سانتی‌گراد نگهداری شد. ۲۵ میکرولیتر از مایع بالایی (حاوی تقریباً ۵۰ میکروگرم پروتئین) به چاهک‌های الکتروفورز با ژل بالایی حاوی ۳/۷۵ درصد آکریلامید- بیس آکریلامید و ژل پایینی حاوی ۱۴ درصد آکریلامید- بیس آکریلامید منتقل شد. ابعاد ژل ۱۴۰×۱۱۰×۱ میلی‌متر، زمان الکتروفورز ۳ ساعت و شدت جریان ۳۰ میلی‌آمپر بود. پس از انجام الکتروفورز، ژل‌ها از شیشه الکتروفورز جدا شده و به مدت یک روز در ظروف پلاستیکی حاوی مقدار کافی محلول رنگ‌آمیزی قرار داده شدند. سپس چند بار با آب مقطر شستشو شده و به آن‌ها مقدار کافی محلول رنگ‌بر اضافه شد. ژل‌ها تا حذف کامل رنگ زمینه و مشخص شدن باندهای پروتئین در محلول رنگ‌بر باقی ماندند. تعیین وزن مولکولی قطعات پروتئینی تفکیک شده بر روی ژل، با استفاده از مارکر استاندارد فرمنتاز^۸ با مشخصات پروتئینی بتاگالاکتوزیداز (۱۱۶ کیلودالتون)، آلبومین سرم گاو (۶۶/۲ کیلودالتون)، آلبومین (۴۵ کیلودالتون)، لاکتات دهیدروژناز (۳۵ کیلودالتون)، آندونوکلئاز (۲۵ کیلودالتون)، بتالاکتوگلوبولین (۱۸/۴ کیلودالتون) و لیزوزیم (۱۴/۴ کیلودالتون) انجام شد. بدین منظور از نرم‌افزار آنالیز کننده ژل^۹ استفاده

استفاده شد. برآورد فرآیندهای مختلف تجزیه‌پذیری و تجزیه‌پذیری موثر پروتئین خام و اسیدهای آمینه کنجاله سویا با استفاده از معادلات غیرخطی ارسکوف و مک دونالد (۳۰) انجام شد. بدین منظور از نرم‌افزار *Fit curve* استفاده شد. داده‌ها در قالب طرح بلوک‌های کامل تصادفی، با استفاده از نرم‌افزار آماری SAS (۳۳) و رویه GLM تجزیه شدند. برای مقایسه میانگین‌ها از آزمون چند دامنه‌ای دانکن استفاده شد. به منظور تعیین ارتباط بین دز پرتوهای یون‌ساز و تجزیه‌پذیری موثر پروتئین خام کنجاله‌ها، از تجزیه رگرسیون خطی ساده (رویه Reg) استفاده شد.

انجام گرفت. بدین منظور از سه راس گاو نر بالغ تالشی (وزن زنده 10 ± 350 کیلوگرم) دارای فیستولای شکمبه‌ای موجود در موسسه تحقیقات علوم دامی کشور استفاده شد. دام‌ها مطابق استاندارد تکنیک کیسه‌های نایلونی، در سطح نگهداری تغذیه شدند. جیره بر اساس نسبت ۶۰ درصد علوفه و ۴۰ درصد کنسانتره تنظیم شد. نمونه‌های کنجاله سویای عمل‌آوری نشده و عمل‌آوری شده با پرتوهای گاما و الکترون توسط آسیاب چکشی آزمایشگاهی دارای غربال ۲ میلی‌متری آسیاب شدند. سپس ۵ گرم از هر نمونه داخل کیسه‌های نایلونی از جنس داکرون (ابعاد 10×20 سانتی‌متر و قطر منافذ ۴۵ تا ۵۰ میکرون) قرار داده شد. زمان‌های ۲، ۴، ۸، ۱۶، ۲۴ و ۴۸ ساعت به منظور انکوباسیون شکمبه‌ای کیسه‌های نایلونی حاوی نمونه‌های مواد خوراکی در نظر گرفته شدند. در ضمن برای برآورد مقدار ناپدید شدن مواد خوراکی در زمان صفر، کیسه‌های حاوی نمونه‌های مواد خوراکی به مدت ۳۰ دقیقه توسط ماشین لباسشویی شستشو شدند. پس از پایان یافتن هر زمان انکوباسیون، کیسه‌های حاوی مواد باقی‌مانده از طریق فیستولا از شکمبه خارج شده و به مدت ۳۰ دقیقه در ماشین لباسشویی با آب سرد شسته شدند. پس از شستشو، کیسه‌ها به مدت ۴۸ ساعت در آون ۶۵ درجه خشک شدند. در نهایت مقدار نمونه باقی‌مانده در کیسه‌ها تعیین شد. سپس محتوی پروتئین نمونه‌های باقی‌مانده در کیسه‌ها به منظور تعیین تجزیه‌پذیری شکمبه‌ای آن تعیین شد. اندازه‌گیری مقدار اسیدهای آمینه نمونه‌های کنجاله سویا به منظور تعیین تجزیه‌پذیری آن‌ها، در آزمایشگاه گروه تولیدات دامی پژوهشکده تحقیقات غذا و کشاورزی^۱ کشور فنلاند انجام گرفت. روش اندازه‌گیری بر اساس دستور کار کمیسیون اروپایی و با استفاده از دستگاه کروماتوگرافی مایع با کارایی بسیار بالا^۲ بود (۱۰). این دستگاه تمام ویژگی‌های کروماتوگرافی مایع با کارایی بالا^۳ را داشته، ضمن اینکه سرعت، حساسیت و قدرت تجزیه بالاتری دارد.

الکتروفورز پروتئین نمونه‌ها با استفاده از تکنیک الکتروفورز ژل پلی‌آکریلامید و بر اساس روش لاملی (۲۰) صورت گرفت. در این پژوهش از دستگاه الکتروفورز عمودی، ساخت شرکت پایا پژوهش استفاده شد. به منظور استخراج پروتئین برای انجام الکتروفورز، مقداری از کنجاله (اندازه ذرات ۰/۱ میلی‌متر و تقریباً ۱۵ میلی‌گرم ماده خشک کنجاله) به درون لوله‌های اپندرف منتقل شد. سپس ۷۵۰ میکرولیتر بافر استخراج نمونه حاوی ۰/۶۲۵ مولار تریس-اسیدکلریدریک^۴ (اسیدیته ۶/۸)، ۱۰ درصد سدیم دودسیل سولفات^۵،

1- MTT Agrifood Research Finland

2- MassTrak UPLC (Ultra performance liquid chromatography)

3- HPLC (High performance liquid chromatography)

4- Tris-Hcl

5- Sodium dodecyl sulfate (SDS)

6- β -mercaptoethanol

7- Bromophenol blue

8- Fermentas

9- Gel pro analyzer

جدول ۱- اثرات پرتوهای یون ساز گاما و الکترون بر فرآسنگه‌های مختلف تجزیه پذیری و تجزیه پذیری موثر پروتئین خام کنجاله سویا

تجزیه پذیری مؤثر (درصد) در سرعت عبور (درصد در ساعت)	تجزیه پذیر			پتانسیل تجزیه پذیر (a+b) درصد	بخش کند تجزیه (b) درصد	بخش سریع تجزیه (a) درصد	
	۸	۵	۲				
۵۷/۶۷ ^a	۶۵/۷۷ ^a	۷۸/۴۰ ^a	۰/۰۸۹ ^a	۹۱/۵۰ ^a	۷۱/۵۰ ^c	۲۰/۰۰ ^a	کنجاله سویا (شاهد)
۵۰/۳۰ ^b	۵۸/۸۷ ^b	۷۳/۴۷ ^{bc}	۰/۰۶۵ ^b	۹۰/۸۰ ^a	۷۳/۲۳ ^{bc}	۱۷/۵۷ ^b	کنجاله سویا- ۲۵ کیلوگری گاما
۴۴/۸۷ ^c	۵۳/۸۷ ^c	۶۹/۴۰ ^d	۰/۰۶۳ ^b	۸۸/۲۵ ^a	۷۶/۶۰ ^{ab}	۱۱/۶۶ ^c	کنجاله سویا- ۵۰ کیلوگری گاما
۳۰/۳۷ ^e	۳۸/۷۳ ^d	۵۶/۶۳ ^e	۰/۰۳۳ ^c	۸۷/۱۲ ^{ab}	۷۹/۹۷ ^a	۷/۱۵ ^d	کنجاله سویا- ۷۵ کیلوگری گاما
۵۳/۶۳ ^b	۶۱/۰۰ ^b	۷۵/۱۷ ^b	۰/۰۶۷ ^b	۹۱/۵۳ ^a	۷۱/۸۵ ^c	۱۹/۶۸ ^a	کنجاله سویا- ۲۵ کیلوگری الکترون
۴۶/۱۰ ^c	۵۵/۱۵ ^c	۷۰/۹۵ ^{cd}	۰/۰۶۱ ^b	۹۰/۱۳ ^a	۷۷/۳۶ ^{ab}	۱۲/۷۹ ^c	کنجاله سویا- ۵۰ کیلوگری الکترون
۳۳/۵۰ ^d	۴۱/۷۳ ^d	۵۸/۱۳ ^e	۰/۰۴۰ ^c	۸۲/۶۸ ^b	۷۳/۹۱ ^{bc}	۸/۷۷ ^d	کنجاله سویا- ۷۵ کیلوگری الکترون
۰/۹۸۷	۰/۹۷۶	۰/۹۰۶	۰/۰۰۲۹	۱/۶۱۳	۱/۳۱۹	۰/۶۴۱	SEM
مقایسات گروهی							
<۰/۰۰۰۱	<۰/۰۰۰۱	<۰/۰۰۰۱	<۰/۰۰۰۱	۰/۱۱۱۱	۰/۰۲۴۸	<۰/۰۰۰۱	شاهد در برابر پرتو
<۰/۰۰۰۱	<۰/۰۰۰۱	۰/۰۰۰۲	<۰/۰۰۰۱	۰/۰۹۲۷	۰/۱۱۲۲	<۰/۰۰۰۱	شاهد در برابر الکترون
<۰/۰۰۰۱	<۰/۰۰۰۱	۰/۰۰۰۲	<۰/۰۰۰۱	۰/۱۹۰۱	۰/۰۰۹۴	<۰/۰۰۰۱	شاهد در برابر گاما
۰/۰۲۹۴	۰/۰۳۶۵	۰/۰۶۷۴	۰/۳۶۱۴	۰/۶۷۳۴	۰/۰۸۴۸	۰/۰۰۴۹	الکترون در برابر گاما

میانگین های هر ستون با حروف غیرمشترک دارای اختلاف معنی دار می باشند ($P < 0.05$).

SEM = اشتباه معیار میانگین

نتایج و بحث

ناپدید شدن شکمبه‌های پروتئین خام و اسیدهای آمینه کنجاله سویای عمل‌آوری نشده و عمل‌آوری شده با پرتوهای گاما و الکترون فرآسنگه‌های مختلف تجزیه پذیری و تجزیه پذیری موثر شکمبه‌های پروتئین خام کنجاله سویای عمل‌آوری نشده (شاهد) و عمل‌آوری شده با پرتوهای یون ساز گاما و الکترون در جدول ۱ گزارش شده‌اند. پرتوتابی مقادیر بخش‌های سریع تجزیه، کند تجزیه و ثابت نرخ تجزیه پروتئین خام را به ترتیب کاهش، افزایش و کاهش داد ($P < 0.05$). تجزیه‌پذیری موثر پروتئین خام کنجاله سویا در سرعت‌های عبور ۲، ۵ و ۸ درصد در ساعت نیز تحت تاثیر فرآیند پرتوتابی کاهش یافت ($P < 0.05$). اشعه گاما نسبت به پرتو الکترون، در کاهش بخش سریع تجزیه و تجزیه‌پذیری موثر (سرعت‌های عبور ۵ و ۸ درصد در ساعت) پروتئین خام کنجاله سویا قدرت بیشتری داشت ($P < 0.05$).

در پژوهش حاضر، مقدار بخش سریع تجزیه پروتئین خام کنجاله سویای پرتوتابی نشده (شاهد) ۲۰ درصد به دست آمد. در ۲۵ کیلوگری پرتو الکترون تاثیری بر این فرآسنگه نداشت ($P > 0.05$). در حالی که در دزهای ۵۰ و ۷۵ کیلوگری، باعث کاهش آن به میزان ۳۶/۰۵ و ۵۶/۱۵ درصد نسبت به شاهد شدند ($P < 0.05$). از سوی دیگر دزهای ۲۵، ۵۰ و ۷۵ کیلوگری اشعه گاما باعث کاهش معنی‌دار فرآسنگه مذکور به-

ترتیب به میزان ۱۲/۱۵، ۴۱/۷ و ۶۴/۲۵ درصد شدند ($P < 0.05$). بیشترین تاثیر بر کاهش بخش سریع تجزیه پروتئین خام کنجاله سویا در دز ۷۵ کیلوگری پرتوهای الکترون و گاما مشاهده شد.

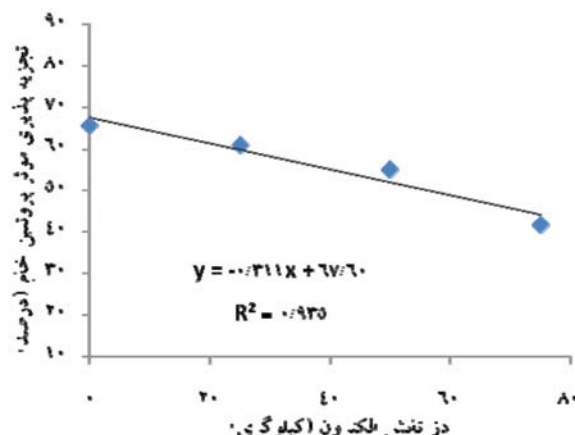
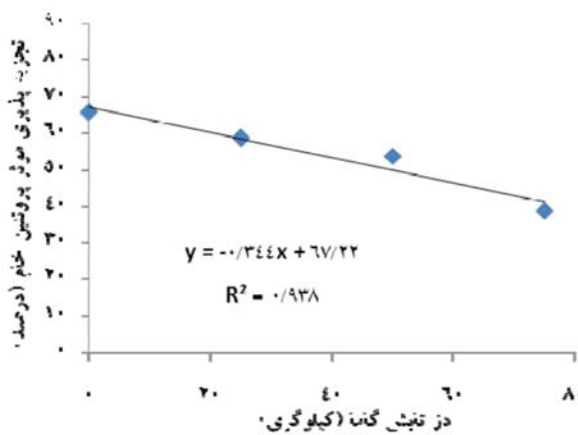
مقدار بخش کند تجزیه پروتئین خام در کنجاله سویای شاهد ۷۱/۵ درصد به دست آمد. هرچند که عمل‌آوری کنجاله سویا توسط دزهای ۲۵، ۵۰ و ۷۵ کیلوگری پرتو الکترون مقدار این فرآسنگه را افزایش داد (به ترتیب ۰/۴۹ و ۸/۲۰ و ۳/۳۷ درصد)، اما از لحاظ آماری تنها در ۵۰ کیلوگری باعث اختلاف معنی‌دار نسبت به شاهد شد ($P < 0.05$). در ضمن اختلاف بین دزهای ۵۰ و ۷۵ کیلوگری الکترون معنی‌دار نبود ($P > 0.05$). اشعه گاما نیز در دزهای ۵۰ و ۷۵ کیلوگری باعث کاهش ($P < 0.05$) بخش کند تجزیه پروتئین خام نسبت به شاهد شد (به ترتیب ۷/۱۳ و ۱۱/۸۵ درصد). اما در ۲۵ کیلوگری آن تاثیر معنی‌داری بر این فرآسنگه نداشت ($P > 0.05$). به طور کلی در ۷۵ کیلوگری پرتو گاما، بیشترین قدرت را در افزایش بخش کند تجزیه پروتئین خام کنجاله سویا داشت.

ثابت نرخ تجزیه پروتئین خام در کنجاله سویای پرتوتابی نشده ۰/۰۸۹ در ساعت به دست آمد. پرتو الکترون در دزهای ۲۵، ۵۰ و ۷۵ کیلوگری، مقدار این فرآسنگه را به ترتیب به میزان ۲۴/۷۲، ۳۱/۴۶ و ۵۵/۰۶ درصد کاهش داد ($P < 0.05$). اشعه گاما نیز در دزهای مورد اشاره مقدار ثابت نرخ تجزیه را به ترتیب به میزان ۲۶/۹۷، ۳۰/۳۴ و

و تجمع یافته و تجزیه پذیری آن در شکمبه کاهش می‌یابد (۳۴). شورنگ و همکاران (۳۴) گزارش کردند که دزهای ۲۵، ۵۰ و ۷۵ کیلوگرمی اشعه گاما بخش‌های سریع تجزیه، کند تجزیه و ثابت نرخ تجزیه پروتئین خام کنجاله سویا را به ترتیب کاهش، افزایش و کاهش دادند. تجزیه پذیری موثر پروتئین خام نیز در سرعت عبور ۵ درصد در ساعت کاهش یافت. در این پژوهش بیشترین کاهش مربوط به دز ۷۵ کیلوگرمی بود. تقی‌نژاد رودبند (۱) اثرات دزهای ۱۵، ۳۰ و ۴۵ کیلوگرمی اشعه گاما را بر تجزیه‌پذیری پروتئین خام دانه سویا مورد بررسی قرار داد. او گزارش کرد که دزهای ۳۰ و ۴۵ کیلوگرمی مقدار بخش سریع تجزیه پروتئین خام را کاهش، و مقدار بخش کند تجزیه آن را دادند. اما دز ۱۵ کیلوگرمی تاثیری بر این صفات نداشت. تجزیه پذیری موثر پروتئین خام توسط تمام دزهای مورد استفاده کاهش یافت. جعفری‌فروشان (۲) گزارش کرد که دز ۶۳ کیلوگرمی پرتو الکترون قادر به کاهش تجزیه پذیری پروتئین خام کنجاله سویا نبود. جدول ۲ مقایسه میانگین تجزیه اسیدهای آمینه کنجاله سویای پرتوتابی نشده و پرتوتابی شده با دزهای ۲۵، ۵۰ و ۷۵ کیلوگرمی اشعه گاما و تابش الکترون را بعد از ۱۶ ساعت انکوباسیون شکمبه‌ای نشان می‌دهد. مقدار تجزیه پذیری اسیدهای آمینه کنجاله سویای عمل-آوری نشده در دامنه ۸۸/۵۳ درصد (ترئونین) تا ۹۶/۸۰ درصد (گلوتامات) بود. مطالعات انجام گرفته در خصوص تجزیه پذیری اسیدهای آمینه کنجاله سویا محدود می‌باشند. بروکی کاسترو و همکاران (۶) در بررسی تجزیه پذیری برخی از اسیدهای آمینه موجود در کنجاله سویا بعد از ۱۶ ساعت انکوباسیون شکمبه‌ای، گزارش کردند که بیشترین مقدار تجزیه پذیری مربوط به اسید آمینه لیزین (۸۰/۲۰ درصد) و کمترین آن مربوط به اسیدهای آمینه متیونین و ترئونین بود (۷۴/۹۰ و ۷۵/۸۰ درصد).

۶۲/۹۲ درصد کاهش داد ($P < 0.05$). بیشترین کاهش در ثابت نرخ تجزیه در دز ۷۵ کیلوگرمی پرتوهای الکترون و گاما مشاهده شد. پرتو یون‌ساز باعث تغییر ساختار پروتئین می‌شود. مطالعات انجام گرفته به وسیله الکتروفورز ژل پلی‌آکرلامید نشان داده اند که پرتوتابی سبب متلاشی شدن زنجیره‌های پلی‌پپتیدی و متعاقب آن به هم چسبیده شدن آن‌ها می‌شود (۸ و ۲۲). جیانگ و همکاران (۱۹) گزارش کردند که تراکم پیوندهای عرضی غشای کلاژن با افزایش دز پرتو الکترون از ۵۰ تا ۱۰۰ کیلوگرمی، افزایش پیدا کرد. در اثر پرتوتابی، بین اسیدهای آمینه آزاد و پروتئین‌ها و نیز بین پپتیدها و پروتئین‌ها اتصال کوالانسی شکل می‌گیرد (۱۴). مجموع این عوامل باعث کاهش بخش سریع تجزیه (محلول) پروتئین خام می‌شوند. تجزیه‌پذیری موثر پروتئین خام کنجاله سویا در سرعت عبور ۵ درصد در ساعت ۶۵/۷۷ درصد به دست آمد. دزهای ۲۵، ۵۰ و ۷۵ کیلوگرمی اشعه گاما مقدار این فرآیند را به ترتیب به میزان ۱۰/۴۹، ۱۸/۰۹ و ۴۱/۱۱ درصد کاهش دادند ($P < 0.05$). تیمار الکترون نیز توسط دزهای مورد اشاره، مقدار آن را به ترتیب به میزان ۱۶/۱۵، ۷/۲۵ و ۳۶/۵۵ درصد نسبت به شاهد کاهش داد ($P < 0.05$).

پرتوهای یون‌ساز گاما و الکترون سبب باز شدن تاخوردگی پروتئین و واسرشتی آن می‌شوند. به این طریق، سطح آب‌گریزی پروتئین از طریق در معرض قرار دادن گروه‌های غیر قطبی افزایش می‌یابد (۱۳). تغییر در ساختمان دوم و سوم پروتئین در اثر واسرشتی، ممکن است که باعث ایجاد اتصالات عرضی داخل پروتئین، برهم‌کنش‌های آب‌گریز و الکترواستاتیک و تشکیل پیوندهای دی‌سولفیدی شود (۲۱). هر اسید آمینه رادیکال تولید شده در یک زنجیره پلی-پپتیدی می‌تواند از طریق پیوند عرضی به اسید آمینه رادیکال پروتئین دیگر پیوند یابد (۹). به این ترتیب پروتئین با وزن مولکولی بالا تشکیل



شکل ۱- ارتباط بین دز تابش پرتوهای یون‌ساز الکترون و گاما و تجزیه پذیری موثر پروتئین خام کنجاله سویا در سرعت عبور ۵ درصد در ساعت

جدول ۲ - مقایسه میانگین درصد تجزیه پذیری اسپیدهای آمینه کنجاله سویای پرتوتابی نشده و پرتوتابی شده بعد از ۱۶ ساعت انکوباسیون شکمبه‌ای

مقیاسات گروهی	پرتو تابی شده با اشعه گاما (کیلوگری)				پرتو تابی شده با تابش الکترون (کیلوگری)				SEM	پرتوتابی نشده در برابر تابش الکترون	پرتوتابی نشده در برابر اشعه گاما	تایش الکترون در برابر اشعه گاما
	۷۵	۵۰	۲۵	۷۵	۵۰	۲۵	۷۵	۵۰				
هیستدین	۹۱/۱۳ ^a	۹۳/۱۳ ^a	۷۵/۴۸ ^c	۹۲/۵۳ ^{ab}	۹۳/۰۰ ^a	۹۲/۵۳ ^{ab}	۸۶/۴۵ ^b	۹۳/۰۰ ^a	۱/۴۳۳	-/۰۰۱۳	-/۰۰۱۵	-/۰۰۴
لیزولوسین	۸۹/۰۷ ^b	۸۹/۳۳ ^b	۷۳/۷۷ ^d	۹۰/۱۹ ^{ab}	۸۳/۳۸ ^c	۸۳/۳۸ ^c	۸۳/۳۸ ^c	-/۰۰۰۱	-/۰۳۵	-/۰۰۱۳	</۰۰۰۱	-/۰۰۰۲
لوسین	۸۸/۸۷ ^a	۸۸/۶۴ ^{ab}	۷۳/۲۵ ^d	۹۰/۱۹ ^{ab}	۸۸/۹۰ ^b	۸۸/۹۰ ^b	۸۸/۹۰ ^b	-/۰۰۰۹	۱/۱۱۹	-/۰۰۰۸۹	-/۰۰۰۳	-/۰۰۳۳
لیزین	۸۸/۳۳ ^{ab}	۸۸/۶۳ ^{ab}	۷۷/۴۴ ^d	۹۰/۲۶ ^{ab}	۸۲/۶۴ ^c	۸۲/۶۴ ^c	۸۲/۶۴ ^c	-/۰۰۰۸	-/۰۸۷۶	-/۰۰۰۶۲	-/۰۰۰۳	</۰۰۶۸
متیونین	۸۶/۹۰ ^b	۸۸/۳۹ ^{ab}	۷۳/۶۵ ^d	۸۹/۵۷ ^{ab}	۸۰/۸۰ ^c	۸۰/۸۰ ^c	۸۰/۸۰ ^c	-/۰۰۲۶	-/۰۴۳۴	-/۰۰۳۲۶	-/۰۰۰۵	-/۰۰۰۳
فیل الاین	۸۸/۷۸ ^{ab}	۸۷/۱۶ ^{ab}	۷۳/۷۱ ^c	۹۰/۹۷ ^{ab}	۸۳/۱۷ ^b	۸۳/۱۷ ^b	۸۳/۱۷ ^b	-/۰۰۶۸	۲/۰۶۵	-/۰۰۵۵۲	-/۰۲۶۳	-/۰۳۷۱
ترئونین	۸۵/۹۱ ^c	۸۶/۴۳ ^{bc}	۷۰/۷۳ ^e	۸۷/۹۱ ^{ab}	۸۰/۳۳ ^d	۸۰/۳۳ ^d	۸۰/۳۳ ^d	-/۰۰۰۵	-/۰۵۱۸	-/۰۰۰۹۱	</۰۰۰۱	</۰۰۰۱
والین	۸۸/۴۳ ^{ab}	۸۷/۷۱ ^a	۷۲/۳۴ ^c	۸۹/۴۳ ^{ab}	۸۱/۵۶ ^b	۸۱/۵۶ ^b	۸۱/۵۶ ^b	-/۰۱۱۰	-/۰۹۹۹	-/۰۶۹۶	-/۰۰۳۰	-/۰۰۲۹
آلانین	۸۷/۸۱ ^a	۸۷/۰۳ ^b	۷۴/۳۶ ^b	۸۸/۸۶ ^{ab}	۷۸/۱۸ ^b	۷۸/۱۸ ^b	۷۸/۱۸ ^b	-/۰۱۴۰	۱/۹۲۹	-/۰۳۸۰	-/۰۰۹۵	-/۰۰۶۱
آرژینین	۹۵/۵۷ ^{ab}	۹۴/۳۳ ^{ab}	۸۵/۴۵ ^b	۹۵/۳۳ ^{ab}	۸۷/۶۱ ^b	۸۷/۶۱ ^b	۸۷/۶۱ ^b	-/۰۶۹۰	۱/۹۴۰	-/۱۱۲۰	-/۰۶۳۹	-/۰۶۶۷
آسپاراژین	۸۷/۵۹ ^{ab}	۸۵/۸۳ ^{ab}	۷۴/۴۹ ^c	۸۹/۸۶ ^{ab}	۸۶/۰۳ ^b	۸۶/۰۳ ^b	۸۶/۰۳ ^b	-/۰۰۵۹	۲/۴۹۸	-/۰۳۰۳	-/۰۰۳۵	-/۰۰۳۳
گلیسین	۸۳/۳۳ ^{bc}	۸۴/۳۳ ^{abc}	۷۳/۳۵ ^d	۸۵/۶۸ ^{ab}	۷۹/۴۰ ^c	۷۹/۴۰ ^c	۷۹/۴۰ ^c	-/۰۰۴۶	۱/۵۲۷	-/۰۲۲۵۱	-/۰۰۲۱	-/۰۰۵۷
پروتئین	۸۸/۶۶ ^{ab}	۸۷/۱۳ ^{ab}	۷۴/۱۸ ^b	۸۹/۵۹ ^{ab}	۸۲/۹۳ ^{ab}	۸۲/۹۳ ^{ab}	۸۲/۹۳ ^{ab}	-/۱۱۰۴	۲/۲۰۵	-/۲۵۲۷	-/۰۵۷۳	-/۰۸۷۸
سرب	۸۶/۰۰ ^a	۸۸/۳۹ ^a	۷۲/۳۷ ^c	۸۶/۰۰ ^a	۷۸/۹۷ ^b	۷۸/۹۷ ^b	۷۸/۹۷ ^b	-/۰۱۱۳	۱/۱۴۴	-/۰۳۸۲	-/۰۰۵۹	-/۰۰۴۴
تیروزین	۸۶/۹۷ ^{ab}	۸۶/۷۳ ^{ab}	۷۰/۹۰ ^c	۸۸/۷۶ ^{bc}	۸۱/۹۶ ^b	۸۱/۹۶ ^b	۸۱/۹۶ ^b	-/۰۲۱۸	۱/۸۵۲	-/۱۳۱۹	-/۰۰۵۸	-/۰۰۲۸
گلوتامات	۹۲/۳۶ ^{ab}	۹۲/۳۳ ^{ab}	۸۰/۵۷ ^c	۹۵/۱۳ ^{ab}	۸۷/۱۸ ^b	۸۷/۱۸ ^b	۸۷/۱۸ ^b	-/۰۱۴۵	۱/۴۸۲	-/۰۷۸۴	-/۰۰۵۳	-/۰۰۴۹۹

میانگین های هر ردیف با حروف غیرمشترک، دارای اختلاف معنی دار می باشند (P<۰/۰۵).
SEM = اشتباه معیار میانگین

در هر ردیف، مقادیر با حروف یکسان در یک ستون، تفاوت معنی دار ندارند.

جدول ۴ حضور یا عدم حضور زیرواحدهای پروتئین‌های کنجاله سویای عمل‌آوری شده با دزهای ۲۵، ۵۰ و ۷۵ کیلوگرمی الکترون را در ساعت‌های مختلف انکوباسیون شکمبه‌ای نشان می‌دهد. در دز ۲۵ کیلوگرمی، زیرواحدهای α ، β و پروتئین بتانگلیسینین پس از ۴ ساعت انکوباسیون شکمبه‌ای ناپدید شدند. اما زیرواحدهای اسیدی و بازی گلیسینین تا زمان ۲۴ ساعت در شکمبه حضور داشتند. دزهای ۵۰ و ۷۵ کیلوگرمی پرتو الکترون باعث محافظت زیرواحدهای α ، β پروتئین بتانگلیسینین تا زمان ۱۶ ساعت و محافظت زیرواحدهای اسیدی و بازی گلیسینین تا زمان ۴۸ ساعت انکوباسیون شکمبه‌ای شدند.

چگونگی ناپدید شدن زیرواحدهای پروتئین‌های کنجاله سویای عمل‌آوری شده با دزهای ۲۵، ۵۰ و ۷۵ کیلوگرمی اشعه گاما در جدول ۵ نشان داده شده است. در تیمار ۲۵ کیلوگرمی، زیرواحدهای α ، β و پروتئین بتانگلیسینین تا زمان ۴ ساعت، و زیرواحدهای اسیدی و بازی گلیسینین تا زمان ۲۴ ساعت انکوباسیون شکمبه‌ای پدیدار بودند. زیرواحدهای α ، β و پروتئین بتانگلیسینین توسط دزهای ۵۰ و ۷۵ کیلوگرمی اشعه گاما تا زمان ۱۶ ساعت از تجزیه میکروبی در امان ماندند. به همین ترتیب دزهای مذکور باعث محافظت زیرواحدهای اسیدی و بازی گلیسینین تا زمان ۴۸ ساعت انکوباسیون شکمبه‌ای شدند.

در این پژوهش الگوی زیرواحدهای پروتئین‌های کنجاله سویای پرتوتابی نشده نشان داد که زیرواحدهای α ، β و پروتئین بتانگلیسینین تا زمان ۴ ساعت انکوباسیون در شکمبه حضور داشتند. زیرواحدهای بازی و اسیدی گلیسینین در مقابل تجزیه میکروبی نسبت به زیرواحدهای بتانگلیسینین مقاوم‌تر بودند. به طوری که بعد از ۱۶ ساعت انکوباسیون شکمبه‌ای ناپدید شدند.

شورنگ (۳) مشاهده کرد که زیر واحدهای α و β پروتئین بتانگلیسینین کنجاله سویا پس از ۴ ساعت و زیرواحد β این پروتئین بعد از ۱۲ ساعت انکوباسیون به وسیله میکروارگانیسم‌های شکمبه تقریباً به طور کامل تجزیه شدند. زیرواحد اسیدی و بازی گلیسینین نسبت به زیرواحدهای پروتئین بتانگلیسینین آهسته‌تر تجزیه شده و قسمت عمده پروتئین عبوری کنجاله سویا و به عبارت دیگر پروتئین باقی مانده در کیسه‌ها را تشکیل دادند. زیرواحد اسیدی پروتئین گلیسینین تا زمان ۲۴ ساعت و زیرواحد بازی این پروتئین تا زمان ۴۸ ساعت انکوباسیون تجزیه نشدند. جعفری روشانی (۲) از طریق تجزیه و تحلیل الکتروفورزی تجزیه پذیری پروتئین کنجاله سویای پرتوتابی نشده نشان داد که زیر واحدهای α و β بتانگلیسینین پس از زمان ۱۲ ساعت انکوباسیون شکمبه‌ای ناپدید شدند. اما زیرواحد β پروتئین بتانگلیسینین و زیرواحدهای گلیسینین تا زمان ۴۸ ساعت همچنان وجود داشتند. زیرواحدهای گلیسینین نسبت به زیرواحدهای

ماکسین و همکاران (۲۵) تجزیه پذیری موثر اسیدهای آمینه ضروری کنجاله سویا را در سرعت عبور ۰/۰۸ در ساعت بررسی کرده و گزارش نمودند که ترونین و هیستیدین به ترتیب بیشترین و کمترین مقاومت را به تجزیه شکمبه‌ای داشتند. در این پژوهش، پرتوهای یون‌ساز باعث کاهش درصد تجزیه پذیری اسیدهای آمینه نسبت به شاهد شدند ($P < 0/05$). بجز در مورد اسیدهای آمینه آرژنین، آلانین و پرولین ($P > 0/05$)، اشعه گاما نسبت به تابش الکترون توانایی بیشتری در کاهش تجزیه شکمبه‌ای اسیدهای آمینه کنجاله سویا داشت ($P < 0/05$). در خصوص تاثیر پرتوهای یون‌ساز بر تجزیه پذیری اسیدهای آمینه گزارشی در منابع علمی یافت نشد.

ارتباط بین دز تابش پرتوهای یون‌ساز الکترون و گاما و تجزیه پذیری موثر پروتئین خام کنجاله سویا در سرعت عبور ۵ درصد در ساعت در نگاره ۱ نشان داده شده است. تجزیه رگرسیون حاکی از معنی‌دار بودن ارتباط خطی بین دز تابش پرتوهای الکترون و گاما و تجزیه پذیری موثر پروتئین خام بود ($P < 0/05$). با افزایش هر کیلوگرمی افزایش دز تابش الکترون مقدار تجزیه پذیری موثر پروتئین خام ۳۱/۱ درصد کاهش پیدا کرد ($R^2 = 0/935$). به همین ترتیب با هر کیلوگرمی افزایش در دز اشعه گاما مقدار فرآسنجه مورد اشاره ۳۴/۴ درصد کاهش پیدا کرد ($R^2 = 0/938$). محققین بیان کرده اند که مقدار رادیکال‌های آزاد تولید شده در یک ماده تحت پرتو مستقیماً متناسب با دز پرتوتابی است. با افزایش در پرتو، اثرات آن روی فرآیند واسرشتی پروتئین بیشتر خواهد شد (۳۶). لی و همکاران (۲۳) نشان دادند که دزهای کم پرتو گاما اثر کمی بر تشکیل مولکول‌های پروتئین با وزن زیاد داشتند. اما با افزایش دز پرتو، تشکیل این مولکول‌ها افزایش یافت.

بررسی تجزیه‌پذیری شکمبه‌ای پروتئین‌های کنجاله سویای عمل‌آوری نشده و عمل‌آوری شده با پرتوهای الکترون و گاما با استفاده از تجزیه الکتروفورزی با توجه به وزن مولکولی زیرواحدهای تفکیک شده پروتئین‌های کنجاله سویا در اثر الکتروفورز، در این کنجاله پروتئینی دو پروتئین عمده به نام بتانگلیسینین با ۳ زیرواحد α ، β و گلیسینین با دو زیرواحد اسیدی و بازی تشخیص داده شد. وزن مولکولی زیرواحدهای α ، β و بتانگلیسینین به ترتیب در دامنه ۸۹۲/۴-۹۲/۴، ۷۵/۵-۸۲/۵، ۶۶/۵-۶۶/۱ کیلودالتون قرار داشت. وزن مولکولی زیرواحدهای اسیدی و بازی گلیسینین هم به ترتیب در دامنه ۳۳/۴-۴۹ و ۲۳/۵-۳۰/۵ کیلودالتون قرار داشت (جدول ۳).

تجزیه الگوی الکتروفورزی کنجاله سویای عمل‌آوری نشده نشان داد که زیرواحدهای α ، β و پروتئین بتانگلیسینین این کنجاله بعد از ۴ ساعت انکوباسیون شکمبه‌ای تجزیه شدند. اما زیرواحدهای اسیدی و بازی گلیسینین تا زمان ۱۶ ساعت انکوباسیون شکمبه‌ای حضور داشته و پس از آن ناپدید شدند (جدول ۳).

تجزیه شدن سریع پروتئین بتاکنگلیسینین علاوه بر محلول بودن، عدم وجود پیوندهای دی سولفیدی در ساختمان این پروتئین است (۱۷ و ۲۸).

در مطالعه حاضر، پرتوهای یون ساز گاما و الکترون ناپدید شدن زیرواحدهای پروتئین های کنجاله سویا را به تاخیر انداختند. رفتار اشعه گاما و پرتو الکترون در این خصوص مشابه بود. به این ترتیب که در کنجاله سویای عمل آوری شده با دز ۲۵ کیلوگری پرتوهای الکترون و گاما، زیرواحدهای پروتئین گلیسینین پس از ۲۴ ساعت انکوباسیون شکمبه ای تجزیه شدند. دزهای ۵۰ و ۷۵ کیلوگری این پرتوها باعث حفظ زیرواحدهای پروتئین بتاکنگلیسینین تا زمان ۱۶ ساعت و حفظ زیرواحدهای گلیسینین تا ۴۸ ساعت انکوباسیون شکمبه ای شدند.

شورنگ (۳) مشاهد کرد که در کنجاله سویای عمل آوری شده با دزهای ۲۵، ۵۰ و ۷۵ کیلوگری پرتو گاما، زیرواحدهای α و α پروتئین بتاکنگلیسینین به ترتیب تا زمان ۸، ۸ و ۱۲ ساعت انکوباسیون و زیرواحد β این پروتئین به ترتیب تا ۱۶، ۴۸ و ۴۸ ساعت انکوباسیون شکمبه ای محافظت شدند. همچنین زیرواحدهای اسیدی و بازی پروتئین گلیسینین به طور قابل ملاحظه تحت تاثیر عمل آوری پرتوتابی گاما تا زمان ۴۸ انکوباسیون قابل تشخیص بودند. جعفری فروشانی (۲) مشاهده کرد که زیرواحدهای اسیدی و بازی پروتئین گلیسینین کنجاله سویا به طور قابل ملاحظه ای تحت تاثیر پرتوتابی الکترون تا زمان ۴۸ ساعت، قابل تشخیص بودند که این نسبت به کنجاله سویای پرتوتابی نشده روند بهتری داشت. تقی نژاد و همکاران (۳۸) با بررسی الگوی زیرواحدهای پروتئین های دانه سویای عمل آوری شده با دزهای ۱۵، ۳۰ و ۴۵ کیلوگری پرتو گاما نشان داد که زیرواحد β پروتئین کنگلیسینین به ترتیب تا ۴، ۴ و ۸ ساعت انکوباسیون محافظت شده در حالی که زیرواحدهای α و α آن تحت تاثیر پرتوتابی با گاما قرار نگرفته و بعد از ۲ ساعت انکوباسیون ناپدید شدند. پرتوتابی گاما سبب محافظت قابل ملاحظه زیرواحدهای اسیدی و بازی پروتئین گلیسینین شد.

بتاکنگلیسینین آهسته تر تجزیه شده و قسمت عمده پروتئین عبوری کنجاله سویا را تشکیل می دادند. تقی نژاد و همکاران (۳۸) با آنالیز الکتروفورزی پروتئین دانه سویای عمل آوری نشده نشان دادند که زیرواحدهای α و α پروتئین بتاکنگلیسینین پس از ۲ ساعت و زیرواحد β این پروتئین بعد از ۴ ساعت انکوباسیون به وسیله میکروارگانیزم های شکمبه تقریباً به طور کامل تجزیه شدند. زیرواحدهای اسیدی و بازی گلیسینین نسبت به زیرواحدهای پروتئین بتاکنگلیسینین آهسته تر تجزیه شده و قسمت عمده پروتئین عبوری دانه سویا را تشکیل دادند. زیرواحد اسیدی پروتئین گلیسینین تا زمان ۸ ساعت و زیرواحد بازی این پروتئین تا زمان ۱۶ ساعت انکوباسیون تجزیه نشدند. در زمان ۸ ساعت انکوباسیون، قسمت عمده زیرواحدهای پروتئین بتاکنگلیسینین و بخش عمده پلی پپتیدهای اسیدی و بازی گلیسینین هنوز در ژل مشاهده می شد که بیان گر تجزیه نشدن آن ها در شکمبه بود. چنین نتیجه گرفته شد که هنگامی که دانه سویا به عنوان مکمل پروتئینی به جیره نشخوارکنندگان استفاده می شود، زیرواحدهای اسیدی و بازی پروتئین گلیسینین بخش قابل ملاحظه ای از پروتئین قابل متابولیسم را تشکیل می دهد.

آهسته تر تجزیه شدن گلیسینین نسبت به بتاکنگلیسینین به وسیله میکروارگانیزم های تجزیه کننده پروتئین در شکمبه، به وجود پیوند دی سولفیدی و آب گریزی این پروتئین مربوط می شود (۳۵). اگرچه وجود پیوندهای دی سولفیدی سبب کاهش سرعت تجزیه پروتئین می شود، ولی وسعت تجزیه شدن آن تحت تاثیر میزان آب گریزی پروتئین است. بیان شده است که مقاوم بودن گلیسینین در مقابل تجزیه آنزیمی با ساختمان شیمیایی و فیزیکی آن در ارتباط است. زیرواحدهای اسیدی و بازی گلیسینین با پیوندهای دی سولفیدی بین مولکولی به هم متصل می شوند. علاوه بر این، ارتباطات آب گریز درون مولکول و نیز الکترواستاتیک به دلیل وجود اسیدهای آمینه اسیدی و بازی سبب پایداری ساختمان و شکل فضایی گلیسینین می شوند. دلیل

جدول ۳- ناپدید شدن زیرواحدهای پروتئین های کنجاله سویای عمل آوری نشده در زمان های مختلف انکوباسیون شکمبه ای

پروتئین	زیرواحد	وزن مولکولی	زمان انکوباسیون (ساعت)						
			۰	۲	۴	۸	۱۶	۲۴	۴۸
بتاکنگلیسینین									
	α	۸۹/۲-۹۲/۴	+	+	-	-	-	-	-
	α	۷۵/۵-۸۲/۵	+	+	-	-	-	-	-
	β	۶۲/۱-۶۶/۵	+	+	-	-	-	-	-
گلیسینین									
	اسیدی	۳۳/۴-۴۹	+	+	+	+	+	-	-
	بازی	۲۳/۵-۳۰/۵	+	+	+	+	+	-	-

+ حضور زیرواحد در زمان انکوباسیون مشخص
- عدم حضور زیرواحد در زمان انکوباسیون مشخص

جدول ۴- ناپدید شدن زیرواحدهای پروتئین‌های کنجاله سویای عمل‌آوری شده با پرتو الکترون در زمان‌های مختلف انکوباسیون شکمبه‌ای

پروتئین	دز پرتو (کیلوگری)	زیرواحد	زمان انکوباسیون (ساعت)						
			۰	۲	۴	۸	۱۶	۲۴	۴۸
بتاکنگلیسینین									
	۲۵	α	+	+	+	-	-	-	-
		α	+	+	+	-	-	-	-
		β	+	+	+	-	-	-	-
	۵۰	α	+	+	+	+	+	-	-
		α	+	+	+	+	+	-	-
		β	+	+	+	+	+	-	-
	۷۵	α	+	+	+	+	+	-	-
		α	+	+	+	+	+	-	-
		β	+	+	+	+	+	-	-
گلیسینین									
	۲۵	اسیدی	+	+	+	+	+	-	-
		بازی	+	+	+	+	+	-	-
	۵۰	اسیدی	+	+	+	+	+	+	-
		بازی	+	+	+	+	+	+	-
	۷۵	اسیدی	+	+	+	+	+	+	-
		بازی	+	+	+	+	+	+	-

+: حضور زیرواحد در زمان انکوباسیون مشخص

-: عدم حضور زیرواحد در زمان انکوباسیون مشخص

جدول ۵- ناپدید شدن زیرواحدهای پروتئین‌های کنجاله سویای عمل‌آوری شده با پرتو گاما در زمان‌های مختلف انکوباسیون شکمبه‌ای

پروتئین	دز پرتو (کیلوگری)	زیرواحد	زمان انکوباسیون (ساعت)						
			۰	۲	۴	۸	۱۶	۲۴	۴۸
بتاکنگلیسینین									
	۲۵	α	+	+	+	-	-	-	-
		α	+	+	+	-	-	-	-
		β	+	+	+	-	-	-	-
	۵۰	α	+	+	+	+	+	-	-
		α	+	+	+	+	+	-	-
		β	+	+	+	+	+	-	-
	۷۵	α	+	+	+	+	+	-	-
		α	+	+	+	+	+	-	-
		β	+	+	+	+	+	-	-
گلیسینین									
	۲۵	اسیدی	+	+	+	+	+	-	-
		بازی	+	+	+	+	+	-	-
	۵۰	اسیدی	+	+	+	+	+	+	-
		بازی	+	+	+	+	+	+	-
	۷۵	اسیدی	+	+	+	+	+	+	-
		بازی	+	+	+	+	+	+	-

+: حضور زیرواحد در زمان انکوباسیون مشخص

-: عدم حضور زیرواحد در زمان انکوباسیون مشخص

نتیجه گیری

پرتوتابی باعث کاهش تجزیه شکمبه‌ای پروتئین کنجاله سویا شد. توانایی اشعه گاما در کاهش تجزیه پذیری پروتئین خام و اسیدهای آمینه بیشتر از پرتو الکترون بود. الگوی الکتروفورزی کنجاله سویای پرتوتابی نشده نشان داد که زیرواحدهای پروتئین بتاکنگلیسینین این کنجاله پروتئینی نسبت به زیرواحدهای گلیسینین آن با سرعت بیشتری در شکمبه تجزیه می‌شوند. به عبارت دیگر بخش بیشتر پروتئین عبوری کنجاله سویا را گلیسینین تشکیل داده است. عمل-آوری پرتوتابی در کاهش تجزیه پذیری زیرواحدهای پروتئین بتاکنگلیسینین موفق بود.

پرتوهای یون ساز باعث متراکم شدن و به هم چسبیده شدن پروتئین‌ها می‌شوند (۸). رسوانی و همکاران (۳۱) نشان دادند که پرتوتابی گامای پروتئین سویا در دز ۳۲ کیلوگری، وزن مولکولی پروتئین را از ۶۰ به ۲۰۰۰ کیلودالتون افزایش داد. پیوند عرضی منجر به تشکیل پیوندهای شیمیایی بین دو مولکول پروتئین همجوار می‌شود. در این حالت اثر متقابل پروتئین-پروتئین افزایش یافته و در مقابل واکنش بین آب با مولکول پروتئین کاهش می‌یابد. پروتئین‌های با پیوند عرضی آب‌گریز بوده که این باعث می‌شود از شکمبه عبور کرده و وارد روده شوند (۳۷).

منابع

- ۱- تقی‌نژاد رودبند، م. ۱۳۸۸. مطالعه اثرات فرآیندهای فیزیکی (پرتوتابی گاما، میکروویو و تف دادن) بر روند تجزیه‌پذیری و قابلیت هضم پروتئین دانه سویا و پنبه‌دانه. رساله دکتری علوم دامی دانشگاه آزاد اسلامی واحد علوم و تحقیقات. ۱۲۶ صفحه.
- ۲- جعفری‌فروشانی، م. ۱۳۸۹. اثر پرتوتابی تابش الکترون بر تجزیه‌پذیری ماده خشک و پروتئین خام کنجاله‌های سویا و کانولا و عملکرد گاوهای شیری هلشتاین. پایان نامه کارشناسی ارشد دانشگاه صنعتی اصفهان. ۷۰ صفحه.
- ۳- شورنگ، پ. ۱۳۸۵. مطالعه اثرات پرتوتابی روی ناپدید شدن شکمبه‌ای و پس‌شکمبه‌ای پروتئین بعضی مواد خوراکی با استفاده از تکنیک‌های کیسه‌های نایلونی و الکتروفورز ژل پلی‌آکرلامید. رساله دکتری علوم دامی دانشگاه تهران. ۱۶۴ صفحه.
- 4- Alobeid, H., C. Dragomir, I. Stoica, and P. Smaranda. 2008. Effect of heat treatment duration on ruminal degradation and digestibility of whole nonlintered cottonseeds. *Archiva Zootechnica*. 11: 41-48.
- 5- ASTM. 1984. Method for using the Fricke dosimeter to measure absorbed dose in water. ASTM Standard E 1026.
- 6- Borucki Castro, S. I., L. E. Phillip, H. Lapierre, P. W. Jardon, and R. Berthiaume. 2007. Ruminal degradability and intestinal digestibility of protein and amino acids in treated soybean meal products. *J. Dairy Sci.* 90: 810-822.
- 7- Choi, J. I., J. H. Kim, K. W. Lee, B. S. Song, Y. Yoon, M. W. Byun, and J. W. Lee. 2009. Comparison of gamma ray and electron beam irradiations on the degradation of carboxymethylcellulose. *Korean J. Chem. Eng.* 26: 1825-1828.
- 8- Ciesla, K., Y. Roos, and W. Gluszewski. 2000. Denaturation processes in gamma irradiated proteins studied by differential scanning calorimetry. *Radiat. Phys. Chem.* 58: 233-243.
- 9- Ebrahimi, S. R., A. Nikkhah, A. A. Sadeghi, and G. Raisali. 2009. Chemical composition, secondary compounds, ruminal degradation and in vitro crude protein digestibility of gamma irradiated canola seed. *Anim. Feed Sci. Technol.* 151: 184-193.
- 10- European Commission. 1998. Establishing community methods of analysis for the determination of amino acids, crude oils and fats, and olaquinox in feedingstuffs and amending directive 71/393/EEC. Commission directive 98/64/EC.
- 11- Farkas, J. 1998. Irradiation as a method for decontaminating food. A review. *Int. J. Food Microbiol.* 44: 189-204.
- 12- Fathi Nasri, M. H., J. France, M. Danesh Mesgaran, and E. Kebreab. 2008. Effect of heat processing on ruminal degradability and intestinal disappearance of nitrogen and amino acids in Iranian whole soybean. *Livest Sci.* 113: 43-51.
- 13- Gaber, M. H. 2005. Effect of g-irradiation on the molecular properties of bovine serum albumin. *J. Biosci. Bioeng.* 100: 203-206.
- 14- Garrison, W. M. 1987. Reaction mechanism in the radiolysis of peptides, polypeptides, and proteins. *Chem. Rev.* 87: 381-398.
- 15- Ghanbari, F., T. Ghoorchi, P. Shawrang, H. Mansouri, and N. M. Torbati-Nejad. 2012. Comparison of electron beam and gamma ray irradiations effects on ruminal crude protein and amino acid degradation kinetics, and in vitro digestibility of cottonseed meal. *Radiat. Phys. Chem.* 81: 572-578.
- 16- Gulati, S. K., M. R. Garg, and T. W. Scott. 2005. Rumen protected protein and fat produced from oilseeds and/or meals by formaldehyde treatment; their role in ruminant production and product quality; a review. *Aust. J. Exp. Agr.* 45: 1189-1203.

- 17- Hill, J. E. and R. W. Breidenbach. 2003. Proteins of soybean seeds. Accumulation of the major protein components during seed development and maturation. *Plant Physiol.* 53:, 742-746.
- 18- Hyun-Joo, K., H. Jun-Sang, L. Ju-Woon, K. Keehyuk, H. Sang-Do, and J. Cheorun. 2010. Effects of gamma and electron beam irradiation on the survival of pathogens inoculated into sliced and pizza cheeses. *Radiat. Phys. Chem.* 79: 731-734.
- 19- Jiang, B., Z. Wu, H. Zhao, F. Tang, J. Lu, Q. Wei, and X. Zhang. 2006. Electron beam irradiation modification of collagen membrane. *Biomater.* 27: 15-23.
- 20- Laemmli, U. K. 1970. Cleavage structural proteins during the assembly of the head of bacteriophage T4. *Nature.* 227: 680-688.
- 21- Lee Maire, M., L. Thauvette, B. De Foresta, A. Viel, G. Beaugerard, and M. Potier. 1990. Effects of ionizing radiations on proteins. *Biochem. J.* 267: 431-439.
- 22- Lee, J. W., J. H. Kim, H. S. Yook, K. O. Kang, S. Y. Lee, H. J. Hwang, and M. W. Byun. 2001. Effect of gamma irradiation on the allergenic and antigenic properties of milk proteins. *J. Food Prot.* 64: 272-276.
- 23- Lee, S. L., M. S. Lee, and K. B. Song. 2005. Effect of gamma-irradiation on the physicochemical properties of gluten films. *Food Chem.* 92: 621-625.
- 24- Mani, V. and P. Chandra. 2003. Effect of feeding irradiated soybean on nutrient intake, digestibility and N-balance in goats. *Small. Rum. Res.* 48: 77-81.
- 25- Maxin, G., D. R. Ouellet, and H. Lapierre. 2013. Ruminant degradability of dry matter, crude protein, and amino acids in soybean meal, canola meal, corn, and wheat dried distillers grains. *J. Dairy Sci.* 96: 5151-5160.
- 26- Moshtaghi Nia, S. A. and J. R. Ingalls. 1995. Influence of moist heat treatment on ruminal and intestinal disappearance of amino acid from canola meal. *J. Dairy Sci.* 78: 1552-1560.
- 27- Mostafa, M. M. 1987. Nutritional aspects of thermal and irradiation processing of peanut kernels and their oil. *Food Chem.* 26: 31-45.
- 28- Mujoo, R. and D. Trinh. 2003. Characterization of storage proteins in different soybean varieties and their relationship to tofu yield and texture. *Food Chem.* 82: 265-273.
- 29- National Research Council. 2001. Nutrient requirements of dairy cattle, seventh revised ed. National Academy of Sciences, Washington, D.C.
- 30- Orskov, E. R., and I. McDonald. 1979. The estimation of protein degradability in the rumen from incubation measurements weighted according to rumenrate of passage. *J. Agric. Sci. Camb.* 92: 499-503.
- 31- Ressouany, M., C. Vachon, and M. Lacroix. 1998. Irradiation dose and calcium effect on the mechanical properties of cross-linked caseinate films. *J. Agric. Food Chem.* 46: 1618-1623.
- 32- Sadeghi, A. A., A. Nikkhah, P. Shawrang, and M. M. Shahrebabak. 2006. Protein degradation kinetics of untreated and treated soybean meal using SDS-PAGE. *Anim. Feed Sci. Technol.* 126: 121-133.
- 33- SAS. 2003. SAS User's Guide: Statistics, Version 9.1 Edition. SAS Institute, Cary, NC, USA.
- 34- Shawrang, P., A. Nikkhah, A. Zare-Shahneh, A. A. Sadeghi, G. Raisali, G. and M. M. Moradi-Shahrbabak. 2008. Effects of gamma irradiation on chemical composition and ruminal protein degradation of canola meal. *Radiat. Phys. Chem.* 77: 918-922.
- 35- Shawrang, P., A. Nikkhah, A. Zare-Shahneh, A. A. Sadeghi, G. Raisali, and M. M. Moradi-Shahrbabak. 2007. Effects of gamma irradiation on protein degradation of soybean meal in the rumen. *Anim. Feed Sci. Technol.* 134: 140-151.
- 36- Siddhuraju, P., H. P. S. Makkar, and K. Becker. 2002. The effect of ionizing radiation on antinutritional factors and the nutritional value of plant materials with reference to human and animal food. *Food Chem.* 78: 187-205.
- 37- Taghinejad- Roudbaneh, M., S. R. Ebrahimi, S Azizi, and P. Shawrang. 2010. Effect of electron beam irradiation on chemical composition, antinutritional factors, ruminal degradation and *in vitro* protein digestibility of canola meal. *Radiat. Phys. Chem.* 79: 1264-1269.
- 38- Taghinejad, M., A. Nikkhah, A. A. Sadeghi, G. Raisali, and M. Chamani. 2009. Effects of gamma irradiation on chemical composition, antinutritional factors, ruminal degradation and *in vitro* protein degradability of full-fat soybean. *Asian-Aust. J. Anim. Sci.* 22: 534-541.
- 39- Tuncer, S. D and P. Sacakli. 2003. Rumen degradability characteristics of xylose treated canola and soybean meals. *Anim. Feed Sci. Technol.* 107: 211-218.
- 40- Wright, C. F., M. A. G. Von Keyserlingk, M. L. Swift, and L. J. Fisher. 2005. Heat and lignosulfonate-treated canola meal as a source of ruminal undegradable protein for lactating dairy cows. *J. Dairy Sci.* 88: 238-243.
- 41- Yoruk, M. A., T. Aksu, M. Gul, and D. Bolat. 2006. The effect of soybean meal treated with formaldehyde on amount of protein in the rumen and absorption of amino acid from small intestines. *Turk. J. Vet. Anim. Sci.* 30: 457-463.